

# 膨潤土の挙動に関する一考察

秋田高専 (学) ○ 石井 昭若  
〃 (正) 伊藤 駿

## 1.はじめに

土や岩盤内に特定の粘土鉱物(モンモリロナイトやクロライト等)を含むものは、拘束圧が解かれると水を吸って体積を増加する。この体積変化は荷重レベルが低下すると時間的遅れを伴いながら非常に緩慢に進行する。この現象は例えばオジ紀層におけるトンネル掘削や切り斜面等で見られるが、このような現象の力学的挙動や、その体積増加(膨潤)の抑制効果を調べる目的でモンモリロナイトを含む土質試料の圧密除荷試験を行った。ここでは次のようないふ場合について実験的に考察する。

(1) 応力レベルを変化させた場合

(2) 水溶液の塩濃度を変化させた場合

この研究では除荷荷重と変形量の関係を表示することを試み、また塩濃度による膨潤の抑制の度合いなどについて整理することができた。以下にその概要を報告する。

## 2. 試料と試験法

実験に用いた試料は、モンモリロナイト(クニキ赤礫葉K.K製、Na系モンモリロナイト)と、これに膨潤を示さないカオリナイト、豊浦標準砂、及び消石灰をそれぞれ重量比で1:1に混合したものである。この試料を湿潤箱で一週間養生した後、Proctorの締め固め相当エネルギー( $E_c = 5.625 \text{ kgf/cm}^2/\text{cm}^3$ )を与えて成形し固結させた。その後、その体積変化を観測した。

## 3. 膨潤量の一解析法

ここで使用する力学モデルは、次式によって表わされるものとする<sup>1)</sup>

$$E_v = K_0 \ln \left( 1 + \frac{\Delta P}{P_{max}} \right) \quad (1)$$

ここで  $E_v$  は膨潤ヒズミ、 $K_0$  : 膨潤係数、 $P_{max}$  : 最大上載荷重、 $\Delta P$  : 減少荷重。

本研究では最初  $P_{max} = 6.4 \text{ kgf/cm}^2$  を加え、24時間毎に上載荷重を半減した。その挙動は図-1のようであった。ここで、石灰混入の試料とカオリン混入の試料を比較すると明らかに、石灰混入の試料の方が膨潤量が少なく、その抑制効果が表われていることがわかる。このよう段階的な膨潤挙動を表示するため24時間毎の最終値に注目してこれらを連続的に取った場合を考える。この場合式(1)の  $K_0$  の決定については、

$\ln \left( 1 + \frac{\Delta P}{P_{max}} \right)$  を片対数で表示すると良好であったので、各荷重段階による変化を求めるに次式のようになった。

$$E_v = K_0 \ln \left( \ln \left( 1 + \frac{\Delta P}{P_{max}} \right) \right) + \alpha \quad (2)$$

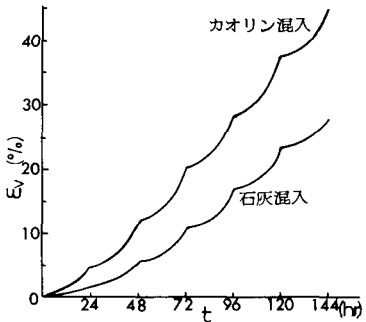


図-1. 試料の種類による膨潤ヒズミの変化  
また膨潤抑制効果をNaClを用い、上載荷重を減らして、その体積変化を観測した。

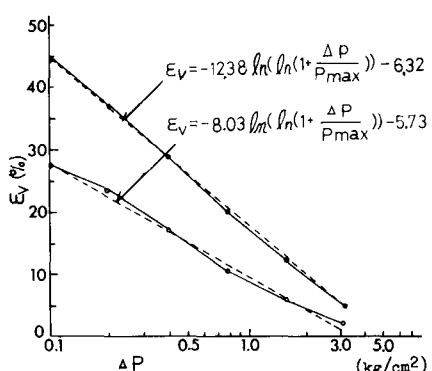


図-2 実験結果と力学モデルの比較

なお $\alpha$ は定数である。 $\kappa$ は膨潤抑制効果を示すと考えられ各試料によって異なるが $\alpha$ は互いに近似した値となるようである。

式(2)による表示を試みると図-2のようになり各々のように整理された。

カオリין混入の場合;

$$\dot{\epsilon}_u = -12.38 \ln \left( \ln \left( 1 + \frac{\sigma}{P_{max}} \right) \right) - 6.32 \quad (3)$$

石灰混入の場合;

$$\dot{\epsilon}_u = -8.03 \ln \left( \ln \left( 1 + \frac{\sigma}{P_{max}} \right) \right) - 5.73 \quad (4)$$

図-2を見ると、実験結果と測定値がよく合っていることがわかる。このように膨潤挙動を示す力学モデルの一つとして式(2)は妥当性を示すことが検証された。

#### 4. 塩規定度(N)による膨潤抑制効果

上の3節では、石灰が膨潤を抑制することが明確に表示されたが、一般にNaClも膨潤を抑制することが知られている。そこでその基礎実験として圧密水浸漬の水溶液のNaClの規定度を種々に変え、また上載荷重( $\sigma_1$ )を変えた実験を行うと図-3(a), (b)のような結果が得られた。図-3(a)を見ると膨潤は、1.0Nによって抑えられ $\dot{\epsilon}_u$ は1%未満となった。しかし図-3(b)ではこれが完全に抑えられ24時間計測時間内では $\dot{\epsilon}_u$ は発生していない。このことは上載荷束荷重による膨潤の抑制効果と考えられ膨潤量は塩規定度と共に拘束圧 $\sigma_1$ によっててもある限界値を持っていますことが推定される。

次にこの膨潤速度をNによって表示すると図-4のようになる。これは  $t = a \cdot \dot{\epsilon}_u^b$  (5) と表示され根拠は小さい程 $b$ の値が大きいことがわかる。

#### 5. 結び

以上膨潤抑制効果を調べ、また膨潤量に関する力学モデルによる検討を行った。その結果石灰とカオリナイトの試料について妥当なモデル式を得た。また塩規定度による膨潤挙動についても整理したが今後さらに膨潤圧力との関係についても検討したいと考えている。

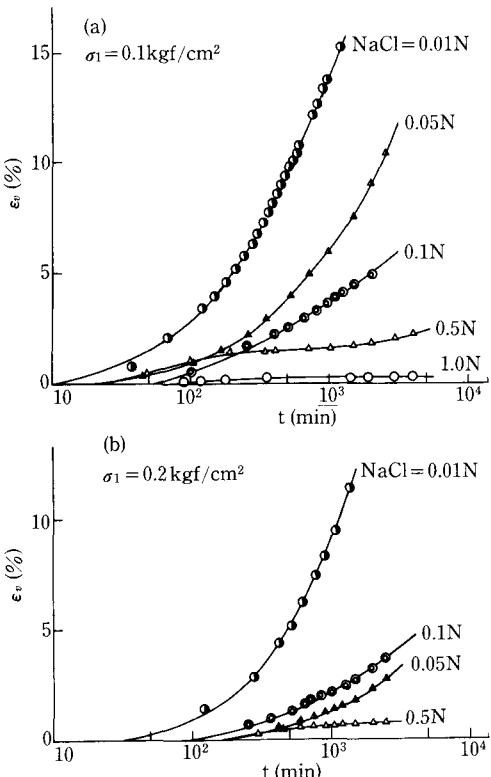


図-3. 応力レベル及び塩規定度による $\dot{\epsilon}_u$ -t関係

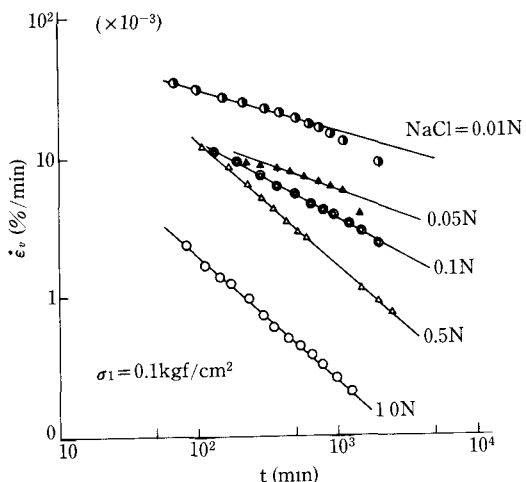


図-4. Nによる堆積速度( $\dot{\epsilon}_u$ )との関係